**Zeitschrift:** Bulletin des Schweizerischen Elektrotechnischen Vereins, des

Verbandes Schweizerischer Elektrizitätsunternehmen = Bulletin de l'Association suisse des électriciens, de l'Association des entreprises

électriques suisses

**Herausgeber:** Schweizerischer Elektrotechnischer Verein; Verband Schweizerischer

Elektrizitätsunternehmen

**Band:** 78 (1987)

Heft: 7

**Artikel:** Neuartige Gradientenmethode zur Berechnung der optimalen

Schaltzeilen in Heizungs- und Klimaanlagen

Autor: Leimgruber, J. / Lipsky, P. / Reichlin, A. DOI: https://doi.org/10.5169/seals-903844

## Nutzungsbedingungen

Die ETH-Bibliothek ist die Anbieterin der digitalisierten Zeitschriften auf E-Periodica. Sie besitzt keine Urheberrechte an den Zeitschriften und ist nicht verantwortlich für deren Inhalte. Die Rechte liegen in der Regel bei den Herausgebern beziehungsweise den externen Rechteinhabern. Das Veröffentlichen von Bildern in Print- und Online-Publikationen sowie auf Social Media-Kanälen oder Webseiten ist nur mit vorheriger Genehmigung der Rechteinhaber erlaubt. Mehr erfahren

## **Conditions d'utilisation**

L'ETH Library est le fournisseur des revues numérisées. Elle ne détient aucun droit d'auteur sur les revues et n'est pas responsable de leur contenu. En règle générale, les droits sont détenus par les éditeurs ou les détenteurs de droits externes. La reproduction d'images dans des publications imprimées ou en ligne ainsi que sur des canaux de médias sociaux ou des sites web n'est autorisée qu'avec l'accord préalable des détenteurs des droits. En savoir plus

### Terms of use

The ETH Library is the provider of the digitised journals. It does not own any copyrights to the journals and is not responsible for their content. The rights usually lie with the publishers or the external rights holders. Publishing images in print and online publications, as well as on social media channels or websites, is only permitted with the prior consent of the rights holders. Find out more

**Download PDF: 29.11.2025** 

ETH-Bibliothek Zürich, E-Periodica, https://www.e-periodica.ch

# Neuartige Gradientenmethode zur Berechnung der optimalen Schaltzeiten in Heizungs- und Klimaanlagen

J. Leimgruber, P. Lipsky, A. Reichlin

Zu Beginn der 70er Jahre wurden die ersten Optimierungssysteme für Heizungs- und Klimaanlagen angeboten, mit durchaus positivem Ergebnis. Alle Möglichkeiten der Energieeinsparung konsequent ausschöpfen können aber erst die heutigen mikroprozessorgesteuerten Systeme. Der vorliegende Artikel befasst sich mit dem Entwurf und dem Einsatz eines neuartigen Gradientenverfahrens zur Berechnung der optimalen Ein- und Ausschaltzeiten für Heizungs- und Klimaanlagen unter besonderer Berücksichtigung der Innenwandtemperatur als Massstab für den im Gebäude gespeicherten Energieinhalt.

Les premiers systèmes d'optimalisation d'installations de chauffage et de climatisation remontent à une quinzaine d'années. Les résultats obtenus étaient réjouissants, mais ce ne sont que les systèmes actuels à microprocesseurs qui sont suffisamment performants pour exploiter entièrement les possibilités d'économie de l'énergie. L'article décrit le projet et l'emploi d'un nouveau procédé à gradients pour le calcul des temps optimaux d'enclenchement et de déclenchement de ces installations, compte tenu de la température des parois à l'intérieur du bâtiment représentant l'énergie accumulée dans celui-ci.

#### Adresse der Autoren

Josef Leimgruber, Dr. sc. techn., Peter Lipsky, dipl. El.-Ing. ETH, Anton Reichlin, dipl. El.-Ing. ETH, Industrielle Elektronik, Gebrüder Sulzer AG, 8401 Winterthur.

## 1. Problemstellung

Bei nicht durchgehend genutzten Gebäuden, wie z.B. in Schulhäusern, Verwaltungsgebäuden und Kaufhäusern, werden die Wärmeerzeugungsanlagen während der Nacht stark gedrosselt oder abgeschaltet. Ein solcher intermittierender Heizbetrieb erbringt eine Energieersparnis ohne Komfortverlust. Der Energieverlust eines Gebäudes errechnet sich nämlich über die Formel

$$Q_{\rm H} = F \cdot K \cdot (T_{\rm I} - T_{\rm A}) \tag{1}$$

Q<sub>H</sub> Wärmeverlust pro Zeiteinheit,
 F Fläche der wärmeabgebenden
 Aussenwände,

K Wärmedurchgangszahl,

T<sub>I</sub>-T<sub>A</sub> Differenz zwischen Innen- und Aussentemperatur.

Der Wärmeverlust ist also direkt proportional zur Differenz zwischen Innen- und Aussentemperatur; je kleiner diese gehalten wird, desto geringer ist der Wärmeverlust. Betrachtet man für die weiteren Überlegungen die in Figur 1 dargestellte einfache Heizanlage, so bietet sich als erste Massnahme zur Energieeinsparung an, die Raumtemperatur zur Nachtzeit so weit wie möglich abzusenken. Bei der bekannten witterungsgeführten Vorlauftemperaturregelung kann bis jetzt die Vorlauftemperatur während der Nacht nur um einen bestimmten Betrag abgesenkt werden. Jede darüber hinausgehende Absenkung verursacht Probleme bei der morgendlichen Aufheizung, wenn zu einem bestimmten Zeitpunkt eine vorgegebene Raumtemperatur erreicht werden soll, vor allem bei längerer Dauer des Abkühlbetriebs, z.B. über das Wochenende oder über die Ferienzeiten. Der wesentliche Unterschied zwischen der witterungsgeführten Vorlauftemperaturregelung mit Nachtabsenkung und dem Optimierbetrieb mit abgeschalteten Wärmeerzeugern liegt darin, dass im Optimierbetrieb die Abkühlung des Gebäudes ohne zusätzliche Energiezufuhr erfolgt, während bei der klassischen Nachtabsenkung die Umwälzpumpen und die Kessel dauernd in Betrieb bleiben.

#### Figur 1 Einfache Heizanlage

VT Vorlauf-

temperaturfühler RT Raumtemperatur-

fühler

IWT Innenwandtemperatur

MVM Mischventil-

motor

AWT Aussenwandtemperatur

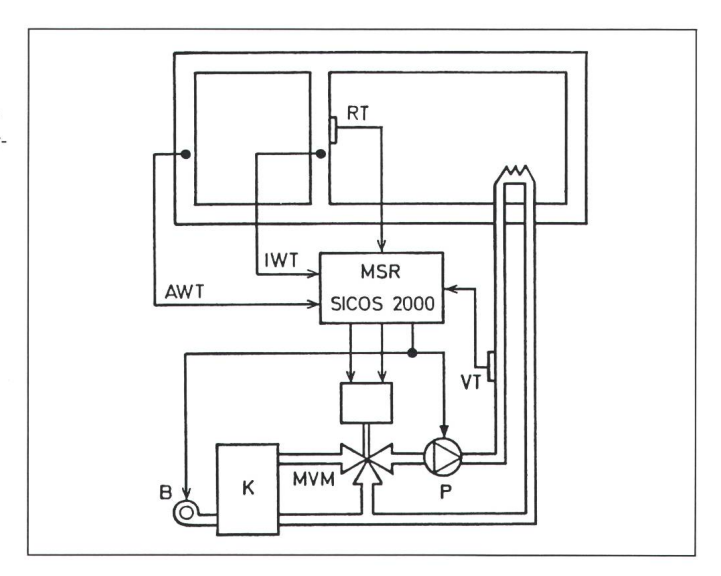
MSR Mess-Steuer-Regelsystem

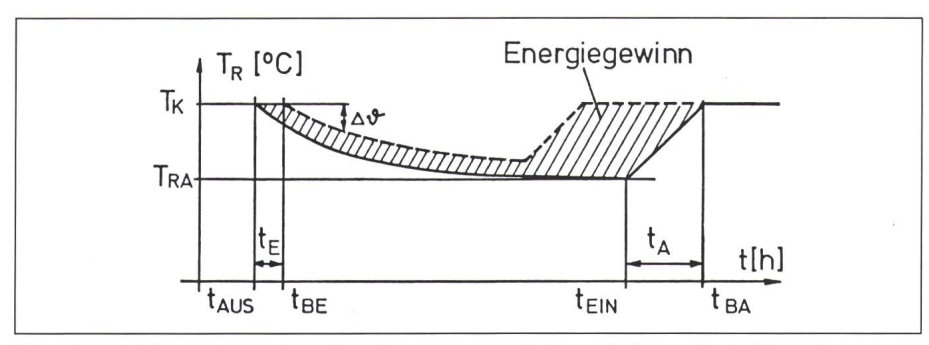
Regelsystem SICOS 2000

K Kessel

B Brenner

P Umwälzpumpe





1.9

 $T_{\rm K}$ 

Figur 2 Zeitlicher Verlauf der Komforttemperatur beim optimierten Auskühl- und Aufheizvorgang

t<sub>AUS</sub> Ausschaltzeitpunkt der Heizanlage

t<sub>E</sub> Abkühlzeit

tBE Ende der Belegungszeit

tein Einschaltzeitpunkt der Heizanlage

t<sub>BA</sub> Belegungsanfang

Ausgehend vom bekannten Zeitpunkt t<sub>BE</sub> des Belegungsendes und einer zulässigen Temperaturabsenkung  $\Delta\theta$  im Zeitpunkt tBE, berechnet ein Optimierungsalgorithmus unter Berücksichtigung der vorhandenen Gebäudeparameter den Ausschaltzeitpunkt t<sub>AUS</sub> für die Wärmeerzeuger und Umwälzpumpen. Im Nachtabsenkbetrieb wird dem Gebäude erst wieder Energie zugeführt, wenn durch die Auskühlung des Gebäudes die Raumtemperatur einen minimalen gebäudetechnischen Grenzwert  $T_{MIN}$  unterschreitet (was in Fig. 2 nicht der Fall ist). Der Energie-

gewinn, welcher durch die Absenk-

temperatur  $\Delta \theta$  am Belegungsende er-

zielt wird, entspricht der in Figur 2 dargestellten, schraffierten Fläche zwi-

schen den Auskühlkurven mit und

In Figur 2 ist der Temperaturverlauf

für einen Optimierbetrieb dargestellt.

ohne Temperaturabsenkung  $\Delta \theta$ . Das Hauptproblem der Optimierung ist die rechtzeitige Wiedereinschaltung der Energieerzeuger am nächsten Morgen: Die minimale Aufheizzeit  $t_A$  muss dazu in Abhängigkeit der jeweiligen Aussen-, Raum- und Wandtemperatur so berechnet werden, dass zu Beginn der Belegung  $t_{BA}$  die vorgegebene Komforttemperatur erreicht wird.

Der Begriff der optimalen Ein- und Ausschaltzeit wird so verstanden, dass

- die Solltemperatur bei Belegungsbeginn mit minimaler Einschaltdauer
   t<sub>A</sub> und
- der zulässige Temperaturabfall  $\Delta \theta$  bei Belegungsende  $t_{\rm BE}$  erreicht wird.

Im folgenden wird ein Algorithmus beschrieben, der die klimatischen Schwankungen und thermischen

Eigenschaften des Gebäudes erfasst

und daraus die optimalen Ein- und

Ausschaltzeiten berechnet.

Absenktemperatur

Raumtemperatur

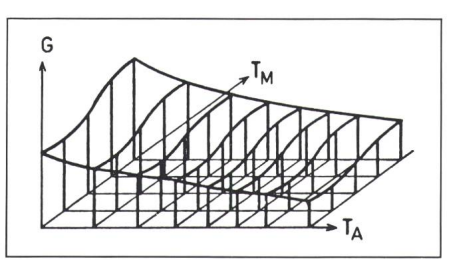
Komforttemperatur

T<sub>RA</sub> Raumtemperatur bei Aufheizbeginn

# 2. Das Gradientenverfahren

Zur Bestimmung der optimalen Einund Ausschaltzeiten (Fig. 2) muss man neben  $T_{\rm K}$ ,  $\Delta \vartheta$  und  $T_{\rm MIN}$  die mittlere Steigung G, den Gradienten der Raumtemperaturkurve kennen. Dieser ist eine Funktion der unveränderlichen Gebäude- und Heizleistungsparameter sowie der variablen Werte Raumtemperatur  $T_{\rm R}$  und Aussentemperatur  $T_{\rm A}$ . Anstelle von  $T_{\rm R}$  wird mit der sogenannten Mischtemperatur  $T_{\rm M}$  gerechnet; welche den Einfluss der Wandtemperatur  $T_{\rm K}$  berücksichtigt.  $T_{\rm M}$  ist definiert durch

$$T_{\rm M} = \frac{\alpha T_{\rm R} + (100 - \alpha) T_{\rm WI}}{100} \ 0 \le \alpha \le 100 \ (2)$$



Figur 3 Verteilung der Einschaltgradienten für einen Heizkanal mit 40 Stützwerten

T<sub>A</sub> Aussentemperatur in °C

 $T_{\mathsf{M}}$  Mischtemperatur in °C

G Stützgradienten in °C/min

wobei  $T_{\rm R}$  die Raumtemperatur,  $T_{\rm WI}$  die Innenwandtemperatur und  $\alpha$  den Mischfaktor (Standardwert: 20) darstellen.

Die Strategie des Gradientverfahrens ist nun folgende: Im Prozessrechner sind eine bestimmte Anzahl Stützwerte der zweidimensionalen Funktion  $G = f(T_A, T_M)$  abgespeichert, aus denen man - wie später noch eingehender gezeigt wird - durch lineare Interpolation den jeweils benötigten Gradienten berechnen kann. Die aus diesem Gradienten berechneten Einund Ausschaltzeiten werden durch Messungen während des Betriebes auf ihre «Richtigkeit» überprüft. Bei eventuellen Abweichungen werden die Stützwerte der Funktion G entsprechend korrigiert.

Der gespeicherte Bereich der Aussentemperatur  $T_A$  liegt zwischen –20 und +15 °C, derjenige der Mischtemperatur  $T_M$  zwischen 10 und 20 °C.

Der Aufheizgradient  $G_{EIN}$  ist definiert durch (Fig. 2):

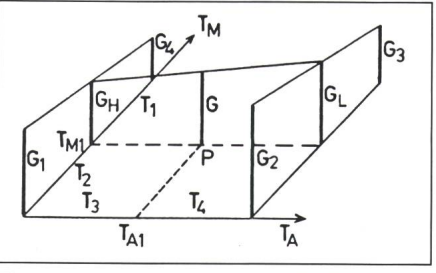
$$G_{\rm EIN} = \frac{t_{\rm A}}{T_{\rm K} - T_{\rm RA}} \tag{3}$$

Daraus ergibt sich die optimale Aufheizzeit  $t_A$  zu

$$t_{\rm A} = G_{\rm EIN} (T_{\rm K} - T_{\rm RA}) \tag{4}$$

Auf gleiche Weise erhält man für die Auskühlzeit

$$t_{\rm E} = G_{\rm AUS} \Delta \theta \tag{5}$$



Figur 4 Stützgradienten im  $(T_A, T_M)$ -Feld

T<sub>A</sub> Aussentemperatur

T<sub>M</sub> Innentemperatur

G Ein- oder Ausschaltgradient

GH, GL Hilfsgradienten

Der für die Aufheizphase gültige Gradient  $G = G_{\rm EIN}$  über dem Betriebspunkt  $P(T_{\rm AI}, T_{\rm MI})$  wird, wie Figur 4 zeigt, aus den vier umliegenden Stützgradienten berechnet. Dabei werden zuerst die Hilfsgradienten  $G_{\rm H}$  und  $G_{\rm L}$  und aus diesen der gesuchte Gradient G durch lineare Interpolation wie folgt bestimmt:

$$G_{\rm H} = G_4 + \frac{G_1 - G_4}{T_1 + T_2} \cdot T_1$$
 (6)

$$G_{\rm L} = G_3 + \frac{G_2 - G_3}{T_1 + T_2} \cdot T_1 \tag{7}$$

$$G = G_{\rm H} + \frac{G_{\rm L} - G_{\rm H}}{T_3 + T_4} \cdot T_3 \tag{8}$$

Mit Hilfe des so gefundenen Wertes  $G = G_A$  (Initialisierungswert oder alter Wert) versucht nun die Optimiereinrichtung die Sollwerttemperatur zur gewünschten Zeit zu erreichen. Sobald dies geschehen ist, berechnet der Optimierungsalgorithmus aufgrund der gemessenen Aufheizzeit  $t_A$  sowie der zurückgelegten Raumtemperaturdifferenz  $\Delta T$  den aktuellen Gradienten

$$G_{\rm R} = t_{\rm A} / \Delta T \tag{9}$$

und aus diesem und dem alten Wert  $G_A$  den Fehlerfaktor

$$F = (G_R - G_A)/G_A \tag{10}$$

Für jeden Stützwert  $G_i$  wird nun eine in Funktion zum Abstand vom Punkt P gewichtete Stützwertkorrektur durchgeführt. Der Gewichtungsfaktor  $K_i$  berechnet sich für i = 1 (Fig. 4) aus

$$K_1 = \frac{T_1}{T_1 + T_2} \cdot \frac{T_4}{T_3 + T_4} \tag{11}$$

Auf gleiche Weise werden die Gewichtungsfaktoren  $K_2$ ,  $K_3$  und  $K_4$  berechnet. Die Werte  $K_i$  sind immer  $\leq 1$ . Je näher der Punkt  $P(T_A, T_M)$  bei  $G_i$  liegt, desto grösser wird  $K_i$ . Aus den Fehlerfaktoren F und den Gewichtungsfaktoren  $K_i$  ergibt sich die Korrekturformel

$$G_{iN} = FK_i G_{iA} + G_{iA} \tag{12}$$

wobei  $G_{iN}$  der i-te neue und  $G_{iA}$  der i-te alte Stützwert ist.

Die Fläche, gebildet durch die beiden Geraden  $T_A$  und  $T_M$  wird im vorliegenden Algorithmus, wie in Figur 3 dargestellt, mit 40 Stützgradienten überzogen. Die Abstände der Stützgradienten untereinander können äquidistant oder gewichtet verteilt und bei der Parameterkonfiguration vor dem Programmstart eingegeben werden.

Bei der *Initialisierung* dieses Optimierungsalgorithmus werden aufgrund von Erfahrungswerten für die Stützwerte der Ein- und Ausschaltgradienten z.B. nachstehende Startwerte eingestellt:

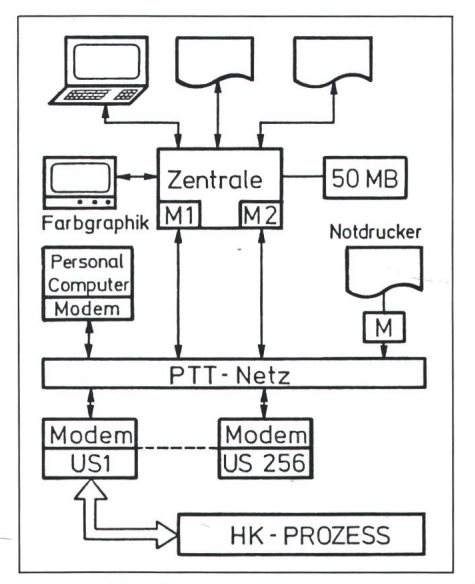
Einschaltgradient:  $G_{EIN} = 60 \text{ min/}^{\circ}\text{C}$ Ausschaltgradient:  $G_{AUS} = 70 \text{ min/}^{\circ}\text{C}$ 

Der nach dem ersten Aufheiz- beziehungsweise Abkühlvorgang gemessene Gradient  $G_R$  wird allen 40 Stützgradienten zugeführt. Damit wird nach dem ersten Tag der Inbetriebsetzung des Gerätes eine gute Grundeinstellung der Stützwerte erreicht.

Wie die Simulationen auf einem Digitalrechner und auch die Anlagenerfahrungen gezeigt haben, erreicht der vorgeschlagene selbstadaptive Algorithmus die exakten Werte für die Stützgradienten nach wenigen Lernschritten. Ein Schritt entspricht dabei einem Aufheiz- oder Abkühlvorgang für einen Parametersatz ( $T_A$ ,  $T_M$ ).

## 3. Anlagenerfahrungen

Das vorgestellte Gradientenverfahren wurde auf den Unterstationen des Gebäudeleitsystems SICOS 2000 (Sulzer Industrial Control System) implementiert. Diese Unterstationen, realisiert auf der Basis von Intel-Mikroprozessoren mit einem adressierbaren Speicherbereich von 120 kbyte, übernehmen im System SICOS 2000 die autarke Führung von Gebäudeeinheiten mit bis zu 300 Datenpunkten pro Unterstation. In Figur 5 ist die Grundkonfiguration dieses Leitsystems dargestellt. Die Unterstationen kommunizieren dabei über automatische Wähl-

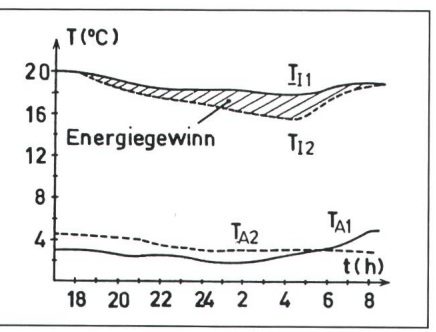


Figur 5 Konfiguration des Leitsystems SICOS 2000

HK Heizung-Klima-Prozess

M Automatische Wähleinrichtungen (Modem)

US Unterstation



Figur 6 Vergleich der klassischen Nachtabsenkung der Vorlauftemperatur mit dem optimierten Ein- und Ausschaltbetrieb. Zeitverlauf der Gebäudeinnentemperatur bei ähnlichen Aussentemperaturbedingungen

- T<sub>11</sub> Innentemperatur bei Nachtabsenkung der Vorlauftemperatur
- $T_{A1}$  Verlauf der Aussentemperatur während der Messung von  $T_{11}$
- T<sub>12</sub> Innentemperatur bei der optimierten Einund Ausschaltung der Heizanlage
- TA2 Verlauf der Aussentemperatur während der Messung von T<sub>12</sub>

Klassische Nachtabsenkung

Beginn der Nachtabsenkung: 17.00 Uhr Ende der Nachtabsenkung: 07.00 Uhr Mittlere Innentemperatur:  $T_{\rm IMI} = 19 \, ^{\circ}{\rm C}$  Mittlere Aussentemperatur:  $T_{\rm AMI} = 3 \, ^{\circ}{\rm C}$ 

Optimierter Ein-/Ausschaltbetrieb

Beginn des Optimierbetriebes: 17.00 Uhr Ende des Optimierbetriebes: 07.00 Uhr Mittlere Innentemperatur:  $T_{\text{IM2}} = 17,5 \,^{\circ}\text{C}$ Mittlere Aussentemperatur:  $T_{\text{AM2}} = 3,5 \,^{\circ}\text{C}$ 

einrichtungen mit der übergeordneten Leitwarte. Neben den üblichen Mess-, Steuer- und Regelaufgaben übernimmt das vorgestellte Gradientenverfahren die Optimierung der Ein- und Ausschaltzeiten der Heizanlagen. Integriert in das Softwarekonzept der Unterstation ist die Anzahl der Optimierungskanäle (Heizkreise) auf 40 begrenzt. Erste Anlagenerfahrungen mit dem Einsatz des vorgestellten Gradientenverfahrens liegen aus einem grösseren Gebäudeleittechnikprojekt der Stadt Strassburg in Frankreich vor, bei welchem bis heute insgesamt 30 Verwaltungsgebäude und Schulen mit Unterstationen des Leitsystems SI-COS 2000 ausgerüstet und an eine Betriebsleitwarte zur zentralen Führung und Überwachung angeschlossen wurden.

Die Auswertung und die Wirtschaftlichkeitsrechnung für den Heizbetrieb eines Schulhauses mit ursprünglich klassischer Nachtabsenkung und nachträglich realisiertem adaptivem Optimierungsbetrieb ist in Figur 6 dargestellt. Dabei ist ersichtlich, dass mit dem adaptiven Auskühlbetrieb (Kurve  $T_{12}$ ) ein beachtlicher Energiegewinn

erzielt wurde. Nach Berechnung der linearen Mittelwerte der Aussen- und Innentemperaturen  $T_{\rm IM}$  und  $T_{\rm AM}$  über den Zeitbereich der Nachtabsenkung bzw. des Optimierbetriebes kann mit Hilfe der Beziehung für die Wärmeverluste pro Zeiteinheit

$$Q_{H1} = F \cdot K (T_{IM1} - T_{AM1})$$

$$Q_{H2} = F \cdot K (T_{IM2} - T_{AM2})$$
(13)

direkt die prozentuale Energieeinsparung der optimierten Nachtauskühlung im Vergleich zur einfachen Nachtabsenkung ermittelt werden. Im vorliegenden Beispiel wurden die in den Legenden der Figur 6 angegebenen Werte gemessen. Aus dem Verhältnis des Wärmeverlustes  $Q_{\rm H2}/Q_{\rm H1}$  resultiert direkt die Energieeinsparung der adaptiven Optimierung im Vergleich zur Nachtabsenkung:

$$\frac{Q_{\rm H2}}{Q_{\rm H1}} = \frac{T_{\rm TIM2} - T_{\rm AM2}}{T_{\rm IM1} - T_{\rm AM1}} = 0,88 \tag{14}$$

Diese Einsparung von 12% ist nur näherungsweise richtig, da die beiden Messungen bei leicht unterschiedlichen Aussentemperaturen durchgeführt wurden, liegt aber wegen  $T_{AM2}$ T<sub>AM1</sub> auf der für die Optimierung ungünstigen Seite. Zudem sind im Optimierbetrieb während der Nachtauskühlung die Umwälzpumpen abgestellt. Die Stromeinsparung und die Unterdrückung der Abstrahlverluste des Heisswassers bringen zusätzliche Einsparungen von etwa 3%, so dass sich im vorliegenden Beispiel insgesamt mindestens 15% Energieeinsparungen ergeben.

Im allgemeinen resultieren aus dem Einsatz des vorgestellten Gradientenverfahrens zur optimalen Berechnung der Ein- und Ausschaltzeiten von Heizungs- und Kühlanlagen Energieeinsparungen zwischen 10 und 40%. Der höhere Wert bezieht sich auf ungeregelte Anlagen, während Werte von 10 bis 20% bei Anlagen mit bereits vorhandenen Regeleinrichtungen erreichbar sind.

Die entgegengesetzte Problemstellung bei intermittierend besetzten Gebäuden in Ländern mit heissem Klima, welche nach kürzester Einschaltzeit der Kühlaggregate auf Komforttemperatur bei Belegungsbeginn gebracht werden müssen, lässt sich mit dem vorgestellten Optimierungsalgorithmus analog zur Heizungsoptimierung lösen; es müssen lediglich bei der Inbetriebsetzung des Gebäudes die für die Kühlung des Gebäudes massgebenden Parameter eingegeben werden.

#### Literatur

- [1] J. Leimgruber, R. Hribar und R. Bieri: Neue Wege in der Gebäudeleittechnik. Das Leitsystem SICOS 2000. Technische Rundschau Sulzer 66(1984)4, S. 28...30.
- [2] P. Foster, J. Leimgruber und R. Böni: Mikroprozessoren optimieren Schaltzeiten von Heizungs- und Klimaanlagen. Technische Rundschau Sulzer 65(1983)4, S. 25...27.